

# Глубокое обучение для одномерного волнового уравнения с неклассическим вариационным принципом

Рассмотрим построение вариационной формулировки для уравнений колебаний конечной струны

$$u_{tt} - u_{xx} = 0 \quad (1)$$

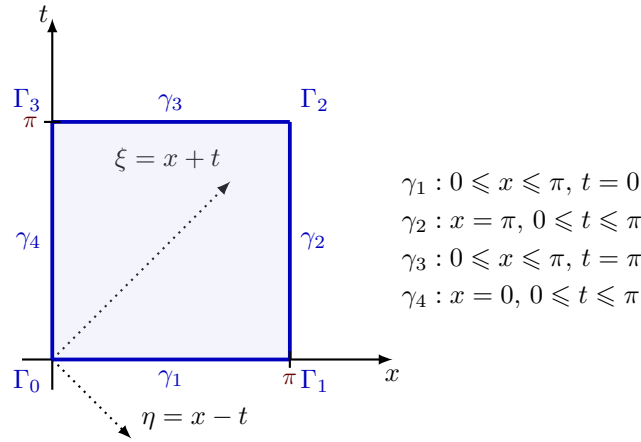
в квадратной области  $\Omega = [0, \pi] \times [0, \pi]$ . Здесь и далее буквенные нижние индексы будут означать дифференцирование по соответствующей переменной.

Граница  $\partial\Omega$  области  $\Omega$  является объединением четырех отрезков  $\gamma_1, \gamma_2, \gamma_3, \gamma_4$ :

$$\partial\Omega = \gamma_1 \cup \gamma_2 \cup \gamma_3 \cup \gamma_4,$$

где отрезки  $\gamma_1, \gamma_2, \gamma_3, \gamma_4$  задаются следующими соотношениями

$$\begin{aligned} \gamma_1 &= \{(x, t) \mid 0 \leq x \leq \pi, t = 0\}, \\ \gamma_2 &= \{(x, t) \mid x = \pi, 0 \leq t \leq \pi\}, \\ \gamma_3 &= \{(x, t) \mid 0 \leq x \leq \pi, t = \pi\}, \\ \gamma_4 &= \{(x, t) \mid x = 0, 0 \leq t \leq \pi\}. \end{aligned}$$



Зададим следующие граничные условия на  $\partial\Omega$ :

$$\begin{cases} u|_{\gamma_1} = 0, 0 \leq x \leq \pi, t = 0, \\ u_x|_{\gamma_2} = -\sin t, x = \pi, 0 \leq t \leq \pi, \\ u_t|_{\gamma_2} = 0, x = \pi, 0 \leq t \leq \pi, \\ u_x|_{\gamma_3} = 0, 0 \leq x \leq \pi, t = \pi, \\ u_t|_{\gamma_3} = -\sin x, 0 \leq x \leq \pi, t = \pi, \\ u_x|_{\gamma_4} = \sin t, x = 0, 0 \leq t \leq \pi, \\ u_t|_{\gamma_4} = 0, x = 0, 0 \leq t \leq \pi. \end{cases} \quad (2)$$

Непосредственной подстановкой можно убедиться, что уравнению (1) с граничными условиями (2) удовлетворяет функция

$$u(x, t) = \sin x \sin t = \frac{1}{2} (\cos(x - t) - \cos(x + t)). \quad (3)$$

Построим для краевой задачи (1)–(2) неклассический вариационный принцип, следуя подходу В.М.Шалова (В. М. Шалов, “Принцип минимума квадратичного функционала для гиперболического уравнения”, Дифференц. уравнения, 1:10 (1965), 1338–1365).

Метод построения вариационной формулировки для волнового уравнения, предложенный В.М.Шаловым, состоит в построении двух векторных операторов **A** и **B**, таких, что оператор **A** является **B**-симметричным:

$$\langle \mathbf{A}u, \mathbf{B}v \rangle = \langle \mathbf{B}u, \mathbf{A}v \rangle \quad \forall u, v$$

и **B**-положительным:

$$\langle \mathbf{A}u, \mathbf{B}u \rangle > 0 \quad \forall u \neq 0,$$

$$\langle \mathbf{A}u_n, \mathbf{B}u_n \rangle \rightarrow 0, n \rightarrow \infty \Rightarrow \|u_n\| \rightarrow 0, n \rightarrow \infty,$$

причем краевая задача для уравнения колебаний струны должна записываться в виде

$$\mathbf{A} u = \mathbf{f},$$

тогда функционал для вариационной задачи имеет вид

$$D[u] = \langle \mathbf{A} u, \mathbf{B} u \rangle - 2 \langle \mathbf{f}, \mathbf{B} u \rangle.$$

Следуя подходу В.М. Шалова, перейдем от независимых переменных  $(x, t)$  к независимым переменным  $(\xi, \eta)$ , где

$$\xi = x + t, \eta = x - t,$$

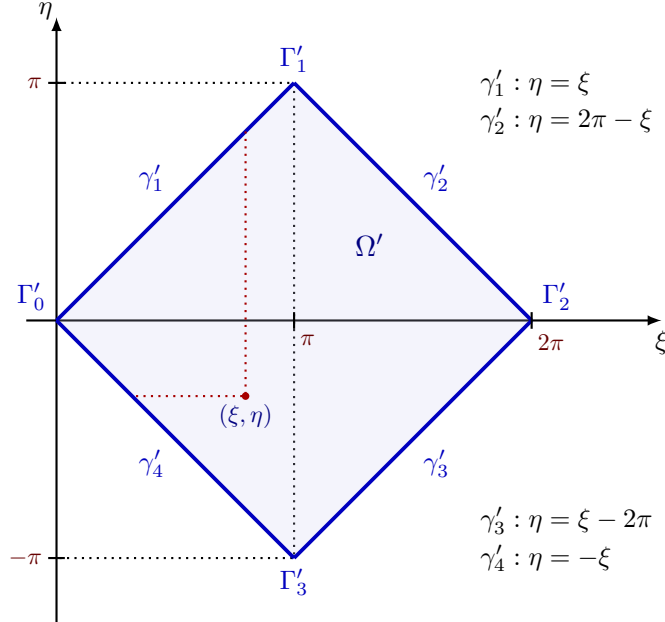
в которых уравнение колебаний струны (волновое уравнение) (1) примет вид

$$u_{\xi\eta} = 0, \quad (4)$$

точное частное решение (3) примет вид:

$$u(\xi, \eta) = \frac{1}{2} (\cos \eta - \cos \xi), \quad (5)$$

область  $\Omega$  примет вид ромба  $\Omega'$  с вершинами в точках  $\Gamma'_0(0, 0)$ ,  $\Gamma'_1(\pi, \pi)$ ,  $\Gamma'_2(2\pi, 0)$ ,  $\Gamma'_3(\pi, -\pi)$ .



Обратный переход от переменных  $(\xi, \eta)$  к переменным  $(x, t)$  задается формулами

$$x = \frac{1}{2} (\xi + \eta), t = \frac{1}{2} (\xi - \eta).$$

Граница  $\partial\Omega'$  области  $\Omega'$  состоит из четырех отрезков  $\gamma'_1, \gamma'_2, \gamma'_3, \gamma'_4$ :

$$\partial\Omega' = \gamma'_1 \cup \gamma'_2 \cup \gamma'_3 \cup \gamma'_4,$$

где отрезок  $\gamma'_1$  соединяет точки  $\Gamma'_0(0, 0)$  и  $\Gamma'_1(\pi, \pi)$ , отрезок  $\gamma'_2$  соединяет точки  $\Gamma'_1(\pi, \pi)$  и  $\Gamma'_2(2\pi, 0)$ , отрезок  $\gamma'_3$  соединяет точки  $\Gamma'_2(2\pi, 0)$  и  $\Gamma'_3(\pi, -\pi)$ , отрезок  $\gamma'_4$  соединяет точки  $\Gamma'_3(\pi, -\pi)$  и  $\Gamma'_0(0, 0)$ .

Для рассматриваемой нами области  $\Omega'$  компоненты внешней нормали  $\vec{n} = (n_1, n_2)$  к границе  $\partial\Omega'$  на различных участках границы  $\gamma'_1, \gamma'_2, \gamma'_3, \gamma'_4$  вычисляются по формулам:

$$\vec{n}(\gamma'_1) = \frac{1}{\sqrt{2}} (-1, 1), \vec{n}(\gamma'_2) = \frac{1}{\sqrt{2}} (1, 1), \vec{n}(\gamma'_3) = \frac{1}{\sqrt{2}} (1, -1), \vec{n}(\gamma'_4) = \frac{1}{\sqrt{2}} (-1, -1).$$

Построим векторные операторы  $\mathbf{A}$  и  $\mathbf{B}$  следующим образом. Первую компоненту векторного оператора  $\mathbf{A}$ , действующую на  $\Omega'$ , определим формулой

$$(\mathbf{A} u)_1 = u_{\xi\eta}.$$

Соответствующую первую компоненту вспомогательного (симметризирующего) векторного оператора  $\mathbf{B}$  на  $\Omega'$  определим равенством

$$(\mathbf{B}v)_1 = \int_{\xi}^{\gamma'_1 \cup \gamma'_4} v_{\eta}(\zeta, \eta) d\zeta + \int_{\eta}^{\gamma'_1 \cup \gamma'_2} v_{\xi}(\xi, \tau) d\tau.$$

Здесь точка  $(\xi, \eta) \in \Omega'$ , интегрирование по переменной  $\zeta$  ведется при фиксированном значении  $\eta$  от значения  $\xi$  до соответствующего значения на одной из кривых  $\gamma'_1$  или  $\gamma'_4$  (в зависимости от значения  $\eta$ ), а интегрирование по переменной  $\tau$  ведется при фиксированном значении  $\xi$  от значения  $\eta$  до соответствующего значения на одной из кривых  $\gamma'_1$  или  $\gamma'_2$ .

Вторые компоненты векторных операторов  $\mathbf{A}$  и  $\mathbf{B}$ , действующие на отрезке границы  $\gamma'_1$ , определим как тождественные отображения:

$$(\mathbf{A}u)_2 = u, (\mathbf{B}v)_2 = v.$$

Третьи компоненты векторных операторов  $\mathbf{A}$  и  $\mathbf{B}$ , действующие на отрезке границы  $\gamma'_2$ , определим формулами:

$$(\mathbf{A}u)_3 = u_{\eta}, (\mathbf{B}v)_3 = -n_1(\gamma'_2) \int_{\xi}^{\gamma'_1} v_{\eta}(\zeta, \eta) d\zeta.$$

Четвертые компоненты векторных операторов  $\mathbf{A}$  и  $\mathbf{B}$ , действующие на отрезке границы  $\gamma'_3$ , определим формулами:

$$(\mathbf{A}u)_4 = u_{\eta}, (\mathbf{B}v)_4 = -n_1(\gamma'_3) \int_{\xi}^{\gamma'_4} v_{\eta}(\zeta, \eta) d\zeta.$$

Пятые компоненты векторных операторов  $\mathbf{A}$  и  $\mathbf{B}$ , также действующие на отрезке границы  $\gamma'_3$ , определим формулами:

$$(\mathbf{A}u)_5 = u_{\xi}, (\mathbf{B}v)_5 = -n_2(\gamma'_3) \int_{\eta}^{\gamma'_2} v_{\xi}(\xi, \tau) d\tau.$$

Последние, шестые компоненты векторных операторов  $\mathbf{A}$  и  $\mathbf{B}$ , действующие на отрезке границы  $\gamma'_4$ , определим формулами:

$$(\mathbf{A}u)_6 = u_{\xi}, (\mathbf{B}v)_6 = -n_2(\gamma'_4) \int_{\eta}^{\gamma'_1} v_{\xi}(\xi, \tau) d\tau.$$

Итак, векторные операторы  $\mathbf{A}$  и  $\mathbf{B}$  равны

$$\mathbf{A}u = \begin{bmatrix} u_{\xi\eta} \\ u \\ u_{\eta} \\ u_{\eta} \\ u_{\xi} \\ u_{\xi} \end{bmatrix}, \mathbf{B}v = \begin{bmatrix} \int_{\xi}^{\gamma'_1 \cup \gamma'_4} v_{\eta}(\zeta, \eta) d\zeta + \int_{\eta}^{\gamma'_1 \cup \gamma'_2} v_{\xi}(\xi, \tau) d\tau \\ v \\ -n_1(\gamma'_2) \int_{\xi}^{\gamma'_1} v_{\eta}(\zeta, \eta) d\zeta \\ -n_1(\gamma'_3) \int_{\xi}^{\gamma'_4} v_{\eta}(\zeta, \eta) d\zeta \\ -n_2(\gamma'_3) \int_{\eta}^{\gamma'_2} v_{\xi}(\xi, \tau) d\tau \\ -n_2(\gamma'_4) \int_{\eta}^{\gamma'_1} v_{\xi}(\xi, \tau) d\tau \end{bmatrix}.$$

Векторный оператор  $\mathbf{A}$  является дифференциальным и определен на декартовом произведении  $\Omega' \times \gamma'_1 \times \gamma'_2 \times \gamma'_3 \times \gamma'_4$ , векторный оператор  $\mathbf{B}$  является интегродифференциальным и также определен на  $\Omega' \times \gamma'_1 \times \gamma'_2 \times \gamma'_3 \times \gamma'_4$ .

Также для построения вариационной формулировки требуется вектор-функция  $\mathbf{f}$ , также определенная на  $\Omega' \times \gamma'_1 \times \gamma'_2 \times \gamma'_3 \times \gamma'_4$ , и равная

$$\mathbf{f} = \frac{1}{2} \sin \xi \begin{bmatrix} 0 \\ 0 \\ 1 \\ -1 \\ 1 \\ 1 \end{bmatrix}.$$

Скалярное произведение векторов  $\mathbf{A}u$  и  $\mathbf{B}v$  вычисляется путем перемножения соответствующих компонент, вычисления интегралов по соответствующим множествам и суммирования полученных значений согласно формуле

$$\begin{aligned} \langle \mathbf{A}u, \mathbf{B}v \rangle = & \int_{\Omega'} (\mathbf{A}u)_1 (\mathbf{B}v)_1 d\xi d\eta + \int_{\gamma'_1} (\mathbf{A}u)_2 (\mathbf{B}v)_2 ds + \int_{\gamma'_2} (\mathbf{A}u)_3 (\mathbf{B}v)_3 ds + \\ & + \int_{\gamma'_3} (\mathbf{A}u)_4 (\mathbf{B}v)_4 ds + \int_{\gamma'_3} (\mathbf{A}u)_5 (\mathbf{B}v)_5 ds + \int_{\gamma'_4} (\mathbf{A}u)_6 (\mathbf{B}v)_6 ds \end{aligned}$$

Вычислим первый интеграл  $\int_{\Omega'} (\mathbf{A}u)_1 (\mathbf{B}v)_1 d\xi d\eta$ , используя формулу интегрирования по частям для многомерного случая:

$$\begin{aligned} \int_{\Omega'} (\mathbf{A}u)_1 (\mathbf{B}v)_1 d\xi d\eta &= \int_{\Omega'} u_{\xi\eta} \left[ \int_{\xi}^{\gamma'_1 \cup \gamma'_4} v_{\eta}(\zeta, \eta) d\zeta + \int_{\eta}^{\gamma'_1 \cup \gamma'_2} v_{\xi}(\xi, \tau) d\tau \right] d\xi d\eta, \\ \int_{\Omega'} u_{\xi\eta} \int_{\xi}^{\gamma'_1 \cup \gamma'_4} v_{\eta}(\zeta, \eta) d\zeta d\xi d\eta &= \int_{\Omega'} (u_{\eta})_{\xi} \int_{\xi}^{\gamma'_1 \cup \gamma'_4} v_{\eta}(\zeta, \eta) d\zeta d\xi d\eta = \int_{\partial\Omega'} u_{\eta} \int_{\xi}^{\gamma'_1 \cup \gamma'_4} v_{\eta}(\zeta, \eta) d\zeta n_1 ds - \\ &- \int_{\Omega'} u_{\eta} \left( \int_{\xi}^{\gamma'_1 \cup \gamma'_4} v_{\eta}(\zeta, \eta) d\zeta \right)_{\xi} d\xi d\eta = \int_{\partial\Omega'} u_{\eta} \int_{\xi}^{\gamma'_1 \cup \gamma'_4} v_{\eta}(\zeta, \eta) d\zeta n_1 ds + \int_{\Omega'} u_{\eta} v_{\eta} d\xi d\eta, \\ \int_{\Omega'} u_{\xi\eta} \int_{\eta}^{\gamma'_1 \cup \gamma'_2} v_{\xi}(\xi, \tau) d\tau d\xi d\eta &= \int_{\Omega'} (u_{\xi})_{\eta} \int_{\eta}^{\gamma'_1 \cup \gamma'_2} v_{\xi}(\xi, \tau) d\tau d\xi d\eta = \int_{\partial\Omega'} u_{\xi} \int_{\eta}^{\gamma'_1 \cup \gamma'_2} v_{\xi}(\xi, \tau) d\tau n_2 ds - \\ &- \int_{\Omega'} u_{\xi} \left( \int_{\eta}^{\gamma'_1 \cup \gamma'_2} v_{\xi}(\xi, \tau) d\tau \right)_{\eta} d\xi d\eta = \int_{\partial\Omega'} u_{\xi} \int_{\eta}^{\gamma'_1 \cup \gamma'_2} v_{\xi}(\xi, \tau) d\tau n_2 ds + \int_{\Omega'} u_{\xi} v_{\xi} d\xi d\eta. \end{aligned}$$

Здесь  $n_1, n_2$  – компоненты внешней нормали  $\vec{n} = (n_1, n_2)$  к границе  $\partial\Omega'$  области  $\Omega'$ . При вычислении криволинейных интегралов по контуру  $\partial\Omega'$  внутренний интеграл  $\int_{\xi}^{\gamma'_1 \cup \gamma'_4} v_{\eta}(\zeta, \eta) d\zeta$  обращается в нуль на  $\gamma'_1 \cup \gamma'_4$ , а внутренний интеграл  $\int_{\eta}^{\gamma'_1 \cup \gamma'_2} v_{\xi}(\xi, \tau) d\tau$  – на  $\gamma'_1 \cup \gamma'_2$ , поэтому получаем

$$\begin{aligned} \int_{\Omega'} (\mathbf{A}u)_1 (\mathbf{B}v)_1 d\xi d\eta &= \int_{\Omega'} (u_{\xi} v_{\xi} + u_{\eta} v_{\eta}) d\xi d\eta + \int_{\gamma'_2 \cup \gamma'_3} u_{\eta} \int_{\xi}^{\gamma'_1 \cup \gamma'_4} v_{\eta}(\zeta, \eta) d\zeta n_1 ds + \\ &+ \int_{\gamma'_3 \cup \gamma'_4} u_{\xi} \int_{\eta}^{\gamma'_1 \cup \gamma'_2} v_{\xi}(\xi, \tau) d\tau n_2 ds \end{aligned}$$

Преобразуем приведенные выше криволинейные интегралы по кривым  $\gamma'_2 \cup \gamma'_3$  и  $\gamma'_3 \cup \gamma'_4$ :

$$\begin{aligned} & \int_{\gamma'_2 \cup \gamma'_3} u_{\eta} \int_{\xi}^{\gamma'_1 \cup \gamma'_4} v_{\eta}(\zeta, \eta) d\zeta n_1 ds + \int_{\gamma'_3 \cup \gamma'_4} u_{\xi} \int_{\eta}^{\gamma'_1 \cup \gamma'_2} v_{\xi}(\xi, \tau) d\tau n_2 ds = \\ &= \int_{\gamma'_2} u_{\eta} \int_{\xi}^{\gamma'_1} v_{\eta}(\zeta, \eta) d\zeta n_1 ds + \int_{\gamma'_3} u_{\eta} \int_{\xi}^{\gamma'_4} v_{\eta}(\zeta, \eta) d\zeta n_1 ds + \int_{\gamma'_3} u_{\xi} \int_{\eta}^{\gamma'_2} v_{\xi}(\xi, \tau) d\tau n_2 ds + \int_{\gamma'_4} u_{\xi} \int_{\eta}^{\gamma'_1} v_{\xi}(\xi, \tau) d\tau n_2 ds = \\ &= \int_{\gamma'_2} u_{\eta} \int_{\xi}^{\gamma'_1} v_{\eta}(\zeta, \eta) d\zeta n_1 ds + \int_{\gamma'_3} \left[ u_{\eta} \int_{\xi}^{\gamma'_4} v_{\eta}(\zeta, \eta) d\zeta n_1 + u_{\xi} \int_{\eta}^{\gamma'_2} v_{\xi}(\xi, \tau) d\tau n_2 \right] ds + \int_{\gamma'_4} u_{\xi} \int_{\eta}^{\gamma'_1} v_{\xi}(\xi, \tau) d\tau n_2 ds \end{aligned}$$

Итак, окончательно получаем

$$\begin{aligned}
\langle \mathbf{A}u, \mathbf{B}v \rangle = & \int_{\Omega'} (u_{\xi}v_{\xi} + u_{\eta}v_{\eta}) d\xi d\eta + \int_{\gamma'_2} u_{\eta} \int_{\xi}^{\gamma'_1} v_{\eta}(\zeta, \eta) d\zeta n_1 ds + \\
& + \int_{\gamma'_3} \left[ u_{\eta} \int_{\xi}^{\gamma'_4} v_{\eta}(\zeta, \eta) d\zeta n_1 + u_{\xi} \int_{\eta}^{\gamma'_2} v_{\xi}(\xi, \tau) d\tau n_2 \right] ds + \int_{\gamma'_4} u_{\xi} \int_{\eta}^{\gamma'_1} v_{\xi}(\xi, \tau) d\tau n_2 ds + \\
& + \int_{\gamma'_1} u v ds - \int_{\gamma'_2} u_{\eta} n_1 \int_{\xi}^{\gamma'_1} v_{\eta}(\zeta, \eta) d\zeta ds - \int_{\gamma'_3} u_{\eta} n_1 \int_{\xi}^{\gamma'_4} v_{\eta}(\zeta, \eta) d\zeta ds - \int_{\gamma'_3} u_{\xi} n_2 \int_{\eta}^{\gamma'_2} v_{\xi}(\xi, \tau) d\tau ds - \\
& - \int_{\gamma'_4} u_{\xi} n_2 \int_{\eta}^{\gamma'_1} v_{\xi}(\xi, \tau) d\tau ds
\end{aligned}$$

В этом выражении все криволинейные интегралы, кроме интеграла по  $\gamma'_1$ , сокращаются и формула для скалярного произведения приобретает следующий простой вид:

$$\langle \mathbf{A}u, \mathbf{B}v \rangle = \int_{\Omega'} (u_{\xi}v_{\xi} + u_{\eta}v_{\eta}) d\xi d\eta + \int_{\gamma'_1} u v ds,$$

из которого вытекает **B**-симметричность оператора **A**. Далее имеем

$$\langle \mathbf{A}u, \mathbf{B}u \rangle = \int_{\Omega'} (u_{\xi}^2 + u_{\eta}^2) d\xi d\eta + \int_{\gamma'_1} u^2 ds,$$

откуда, очевидно, вытекает **B**-положительность оператора **A**.

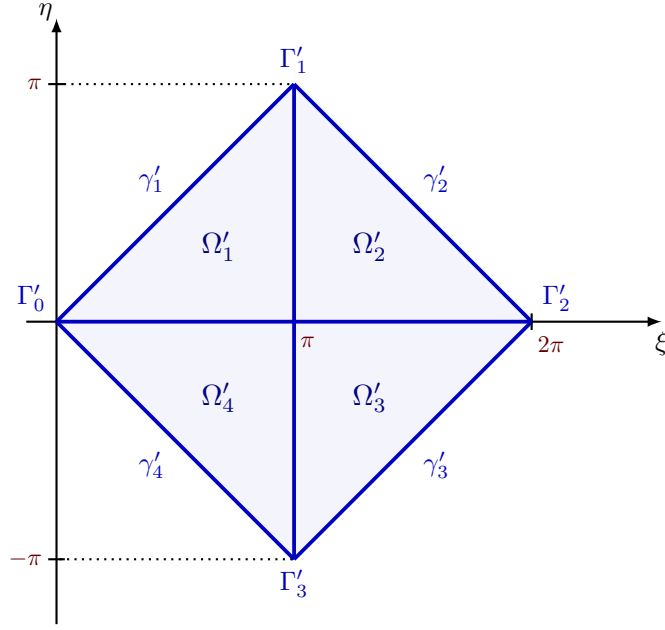
Функционал для вариационной задачи принимает вид

$$\begin{aligned}
D[u] = \langle \mathbf{A}u, \mathbf{B}u \rangle - 2 \langle \mathbf{f}, \mathbf{B}u \rangle = & \int_{\Omega'} (u_{\xi}^2 + u_{\eta}^2) d\xi d\eta + \int_{\gamma'_1} u^2 ds + \\
& + \int_{\gamma'_2} n_1 \sin \xi \int_{\xi}^{\gamma'_1} u_{\eta}(\zeta, \eta) d\zeta ds - \int_{\gamma'_3} n_1 \sin \xi \int_{\xi}^{\gamma'_4} u_{\eta}(\zeta, \eta) d\zeta ds + \\
& + \int_{\gamma'_3} n_2 \sin \xi \int_{\eta}^{\gamma'_2} u_{\xi}(\xi, \tau) d\tau ds + \int_{\gamma'_4} n_2 \sin \xi \int_{\eta}^{\gamma'_1} u_{\xi}(\xi, \tau) d\tau ds.
\end{aligned}$$

Такой вид функционала неудобен для использования в машинном обучении, поэтому преобразуем повторные интегралы в двойные.

Область  $\Omega'$  можно рассматривать как объединение четырех подобластей  $\Omega'_1, \Omega'_2, \Omega'_3, \Omega'_4$ :

$$\Omega' = \Omega'_1 \cup \Omega'_2 \cup \Omega'_3 \cup \Omega'_4.$$



Перейдем в криволинейных интегралах к переменным  $\xi, \eta$  и интегрированию по подобластям  $\Omega'_1, \Omega'_2, \Omega'_3, \Omega'_4$  с учетом того, что дифференциал длины дуги равен  $ds = \sqrt{1 + (\xi_\eta)^2} d\xi = \sqrt{2} d\xi$  или  $ds = \sqrt{1 + (\xi_\eta)^2} d\eta = \sqrt{2} d\eta$  и компоненты внешней нормали  $\vec{n} = (n_1, n_2)$  на участках границы  $\partial\Omega'$  вычисляются следующим образом:

$$\vec{n}(\gamma'_1) = \frac{1}{\sqrt{2}}(-1, 1), \vec{n}(\gamma'_2) = \frac{1}{\sqrt{2}}(1, 1), \vec{n}(\gamma'_3) = \frac{1}{\sqrt{2}}(1, -1), \vec{n}(\gamma'_4) = \frac{1}{\sqrt{2}}(-1, -1).$$

При вычислении криволинейного интеграла вдоль  $\gamma'_2$  используем параметризацию по переменной  $\eta$ , а именно,  $\xi = 2\pi - \eta$ ,  $0 \leq \eta \leq \pi$ ,  $ds = \sqrt{2} d\eta$ , тогда

$$\begin{aligned} \int_{\gamma'_2} \sin \xi n_1(\gamma'_2) \int_{\xi}^{\gamma'_1} u_\eta(\zeta, \eta) d\zeta ds &= \int_0^\pi \sqrt{2} \sin(2\pi - \eta) \frac{1}{\sqrt{2}} \int_{2\pi - \eta}^{\gamma'_1} u_\eta(\zeta, \eta) d\zeta d\eta = \\ &= - \int_0^\pi \sin \eta \int_{2\pi - \eta}^{\eta} u_\eta(\xi, \eta) d\xi d\eta = \int_0^\pi \int_{\eta}^{2\pi - \eta} \sin \eta u_\eta(\xi, \eta) d\xi d\eta = \int_{\Omega'_1 \cup \Omega'_2} \sin \eta u_\eta(\xi, \eta) d\xi d\eta. \end{aligned}$$

При вычислении первого криволинейного интеграла вдоль  $\gamma'_3$  также используем параметризацию по переменной  $\eta$ , а именно,  $\xi = \eta + 2\pi$ ,  $-\pi \leq \eta \leq 0$ ,  $ds = \sqrt{2} d\eta$ , тогда

$$\begin{aligned} - \int_{\gamma'_3} \sin \xi n_1(\gamma'_3) \int_{\xi}^{\gamma'_4} u_\eta(\zeta, \eta) d\zeta ds &= - \int_{-\pi}^0 \sqrt{2} \sin(\eta + 2\pi) \frac{1}{\sqrt{2}} \int_{\eta + 2\pi}^{\gamma'_4} u_\eta(\zeta, \eta) d\zeta d\eta = \\ &= - \int_{-\pi}^0 \sin \eta \int_{\eta + 2\pi}^{-\eta} u_\eta(\xi, \eta) d\xi d\eta = \int_{-\pi}^0 \int_{-\eta}^{\eta + 2\pi} \sin \eta u_\eta(\xi, \eta) d\xi d\eta = \int_{\Omega'_3 \cup \Omega'_4} \sin \eta u_\eta(\xi, \eta) d\xi d\eta. \end{aligned}$$

При вычислении второго криволинейного интеграла вдоль  $\gamma'_3$  используем параметризацию по переменной  $\xi$ , а именно,  $\eta = \xi - 2\pi$ ,  $\pi \leq \xi \leq 2\pi$ ,  $ds = \sqrt{2} d\xi$ , тогда

$$\begin{aligned} \int_{\gamma'_3} \sin \xi n_2(\gamma'_3) \int_{\eta}^{\gamma'_2} u_\xi(\xi, \tau) d\tau ds &= \int_\pi^{2\pi} \sqrt{2} \sin \xi \frac{-1}{\sqrt{2}} \int_{\xi - 2\pi}^{\gamma'_2} u_\xi(\xi, \tau) d\tau d\xi = \\ &= - \int_\pi^{2\pi} \sin \xi \int_{\xi - 2\pi}^{2\pi - \xi} u_\xi(\xi, \eta) d\eta d\xi = - \int_\pi^{2\pi} \int_{\xi - 2\pi}^{2\pi - \xi} \sin \xi u_\xi(\xi, \eta) d\eta d\xi = \int_{\Omega'_2 \cup \Omega'_3} \sin \xi u_\xi(\xi, \eta) d\xi d\eta. \end{aligned}$$

При вычислении криволинейного интеграла вдоль  $\gamma'_4$  также используем параметризацию по переменной  $\xi$ , а именно,  $\eta = -\xi$ ,  $0 \leq \xi \leq \pi$ ,  $ds = \sqrt{2}d\xi$ , тогда

$$\begin{aligned} \int_{\gamma'_4} \sin \xi n_2(\gamma'_4) \int_{\eta}^{\gamma'_1} u_{\xi}(\xi, \tau) d\tau ds &= \int_0^{\pi} \sqrt{2} \sin \xi \frac{-1}{\sqrt{2}} \int_{-\xi}^{\gamma'_1} u_{\xi}(\xi, \tau) d\tau d\xi = \\ &= - \int_0^{\pi} \sin \xi \int_{-\xi}^{\xi} u_{\xi}(\xi, \eta) d\eta d\xi = - \int_0^{\pi} \int_{-\xi}^{\xi} \sin \xi u_{\xi}(\xi, \eta) d\eta d\xi = - \int_{\Omega'_1 \cup \Omega'_4} \sin \xi u_{\xi}(\xi, \eta) d\xi d\eta. \end{aligned}$$

Итак, получаем в переменных  $\xi, \eta$  функционал для вариационной задачи

$$\begin{aligned} D[u] &= \int_{\Omega'} (u_{\xi}^2 + u_{\eta}^2) d\xi d\eta + \int_{\gamma'_1} u^2 ds + \int_{\Omega'_1 \cup \Omega'_2} \sin \eta u_{\eta}(\xi, \eta) d\xi d\eta + \\ &+ \int_{\Omega'_3 \cup \Omega'_4} \sin \eta u_{\eta}(\xi, \eta) d\xi d\eta - \int_{\Omega'_2 \cup \Omega'_3} \sin \xi u_{\xi}(\xi, \eta) d\xi d\eta - \int_{\Omega'_1 \cup \Omega'_4} \sin \xi u_{\xi}(\xi, \eta) d\xi d\eta = \\ &= \int_{\Omega'} (u_{\xi}^2 + u_{\eta}^2) d\xi d\eta + \int_{\gamma'_1} u^2 ds + \int_{\Omega'} \sin \eta u_{\eta}(\xi, \eta) d\xi d\eta - \int_{\Omega'} \sin \xi u_{\xi}(\xi, \eta) d\xi d\eta = \\ &= \int_{\Omega'} (u_{\xi}^2 + u_{\eta}^2 + \sin \eta u_{\eta} - \sin \xi u_{\xi}) d\xi d\eta + \int_{\gamma'_1} u^2 ds \end{aligned}$$

Вернемся в первоначальные переменные  $(x, t)$ . Согласно формуле замены переменных в двойном интеграле

$$\begin{aligned} \int_{\Omega'} f(\xi, \eta) d\xi d\eta &= \int_{\Omega} f(\xi(x, t), \eta(x, t)) \left| \frac{\partial(\xi, \eta)}{\partial(x, t)} \right| dx dt = \\ &= \int_{\Omega} f(x+t, x-t) \left| \det \begin{pmatrix} 1 & 1 \\ 1 & -1 \end{pmatrix} \right| dx dt = 2 \int_{\Omega} f(x+t, x-t) dx dt, \\ u_{\xi} &= \frac{\partial}{\partial \xi} u(x(\xi, \eta), t(\xi, \eta)) = u_x \frac{\partial x}{\partial \xi} + u_t \frac{\partial t}{\partial \xi} = \frac{1}{2} (u_x + u_t), \\ u_{\eta} &= \frac{\partial}{\partial \eta} u(x(\xi, \eta), t(\xi, \eta)) = u_x \frac{\partial x}{\partial \eta} + u_t \frac{\partial t}{\partial \eta} = \frac{1}{2} (u_x - u_t). \end{aligned}$$

Поэтому получаем в исходных переменных  $(x, t)$  следующий функционал

$$\begin{aligned} D[u] &= \int_{\Omega} 2 \left( \frac{1}{4} (u_x + u_t)^2 + \frac{1}{4} (u_x - u_t)^2 + \frac{1}{2} \sin(x-t) (u_x - u_t) - \frac{1}{2} \sin(x+t) (u_x + u_t) \right) dx dt + \\ &+ \int_{\gamma_1} u^2 ds = \int_{\Omega} (u_x^2 + u_t^2 + u_x (\sin(x-t) - \sin(x+t)) - u_t (\sin(x-t) + \sin(x+t))) dx dt + \int_{\gamma_1} u^2 ds = \\ &= \int_{\Omega} (u_x^2 + u_t^2 - 2u_x \cos x \sin t - 2u_t \sin x \cos t) dx dt + \int_{\gamma_1} u^2 ds \end{aligned}$$

## Нейросетевая аппроксимация решения краевой задачи для уравнения колебаний струны

Рассмотрим краевую задачу (1)–(2) для уравнения колебаний струны, допускающую неклассический (неэйлеров) вариационный принцип с функционалом

$$D[u] = \int_{\Omega} (u_x^2 + u_t^2 - 2u_x \cos x \sin t - 2u_t \sin x \cos t) dx dt + \int_{\gamma_1} u^2 ds$$

$$\begin{cases} u|_{\gamma_1} = 0, 0 \leq x \leq \pi, t = 0, \\ u_x|_{\gamma_2} = -\sin t, x = \pi, 0 \leq t \leq \pi, \\ u_t|_{\gamma_2} = 0, x = \pi, 0 \leq t \leq \pi, \\ u_x|_{\gamma_3} = 0, 0 \leq x \leq \pi, t = \pi, \\ u_t|_{\gamma_3} = -\sin x, 0 \leq x \leq \pi, t = \pi, \\ u_x|_{\gamma_4} = \sin t, x = 0, 0 \leq t \leq \pi, \\ u_t|_{\gamma_4} = 0, x = 0, 0 \leq t \leq \pi. \end{cases} \quad (6)$$

Решение  $u(x, t)$  этой краевой задачи может быть аппроксимировано глубокой искусственной нейронной сетью с выходом  $f(x, t; \theta)$ , где  $x, t$  – входные значения, а  $\theta$  – вектор параметров (весов и смещений) нейронной сети:

$$u(x, t) \approx f(x, t; \theta).$$

При обучении нейронной сети в качестве функционала потерь (ошибки) может быть использован функционал невязки (residuals functional)

$$\begin{aligned} \mathcal{L}_R(f) = & \|f_{tt} - f_{xx}\|_{\Omega}^2 + \|f\|_{\gamma_1}^2 + \|f_x + \sin t\|_{\gamma_2}^2 + \|f_t\|_{\gamma_2}^2 + \\ & + \|f_x\|_{\gamma_3}^2 + \|f_t + \sin x\|_{\gamma_3}^2 + \|f_x - \sin t\|_{\gamma_4}^2 + \|f_t\|_{\gamma_4}^2, \end{aligned}$$

где  $\|f\|_X^2 = \int_X |f(x)|^2 \rho(x) dx$ ,  $\rho(x)$  – плотность некоторого распределения вероятности на  $X$  (например, равномерного распределения).

При использовании такого функционала в качестве функционала потерь (ошибки) при обучении нейронной сети, аппроксимирующей решение рассматриваемой краевой задачи, интегралы, входящие в функционал, как правило, подсчитываются методом интегрирования Монте-Карло, а производные  $f_x, f_t$  и т.д. неизвестной функции  $f(x, t)$  вычисляются при помощи алгоритма автоматического дифференцирования.

Метод интегрирования Монте-Карло позволяет приближенно вычислять интегралы

$$I = \int_{\Omega} f(\mathbf{x}) \rho(\mathbf{x}) d\mathbf{x},$$

где  $\rho(\mathbf{x})$  – некоторое вероятностное распределение в области  $\Omega$ , в виде конечных сумм

$$\hat{I} = \frac{1}{n} \sum_{i=1}^n f(\mathbf{x}_i),$$

где  $\{\mathbf{x}_i\}_{i=1}^n$  – случайная выборка с распределением  $\rho(\mathbf{x})$ . Такая аппроксимация является корректной и дает полезные результаты, так как

- по сильному закону больших чисел  $\hat{I} \xrightarrow[n \rightarrow \infty]{} I$  с вероятностью единица
- ошибку аппроксимации можно измерить и контролировать:

$$Var(\hat{I}) = \frac{1}{n(n-1)} \sum_{i=1}^n (f(\mathbf{x}_i) - \hat{I})^2$$

При использовании функционала невязки  $\mathcal{L}_R(f)$  нужно вычислять восемь интегралов, для чего необходимо строить случайные выборки из различных областей (многообразий), и вычислять частные производные до второго порядка включительно.

## Общая схема алгоритма обучения нейронной сети с функционалом невязки

1. Выбрать начальное множество параметров нейронной сети  $\theta_0$  и начальную скорость обучения  $\alpha_0$
2. Сгенерировать случайные выборки для области  $\Omega$  и временной/пространственной границы  $\partial\Omega$ , а именно
  - сгенерировать случайную выборку  $\{(x_{i_0}, t_{i_0})\}_{i_0=1}^{n_0}$  из  $n_0$  точек из области  $\Omega$  с распределением  $\nu_0$
  - сгенерировать случайную выборку  $\{(x_{i_1}, t_{i_1})\}_{i_1=1}^{n_1}$  из  $n_1$  точек из фрагмента границы  $\gamma_1 \subset \partial\Omega$  с распределением  $\nu_1$



- сгенерировать случайную выборку  $\{(x_{i_2}, t_{i_2})\}_{i_2=1}^{n_2}$  из  $n_2$  точек из фрагмента границы  $\gamma_2 \subset \partial\Omega$  с распределением  $\nu_2$
- сгенерировать случайную выборку  $\{(x_{i_3}, t_{i_3})\}_{i_3=1}^{n_3}$  из  $n_3$  точек из фрагмента границы  $\gamma_3 \subset \partial\Omega$  с распределением  $\nu_3$
- сгенерировать случайную выборку  $\{(x_{i_4}, t_{i_4})\}_{i_4=1}^{n_4}$  из  $n_4$  точек из фрагмента границы  $\gamma_4 \subset \partial\Omega$  с распределением  $\nu_4$

3. Вычислить функционал невязки  $\mathcal{L}_R(f)$  для сгенерированных случайных выборок, объединенных в мини-батч  $s_k$ :

$$\mathbf{s}_k = \left\{ \{(x_{i_0}, t_{i_0})\}_{i_0=1}^{n_0}, \{(x_{i_1}, t_{i_1})\}_{i_1=1}^{n_1}, \{(x_{i_2}, t_{i_2})\}_{i_2=1}^{n_2}, \{(x_{i_3}, t_{i_3})\}_{i_3=1}^{n_3}, \{(x_{i_4}, t_{i_4})\}_{i_4=1}^{n_4} \right\},$$

$$L_0(f, \mathbf{s}_k; \boldsymbol{\theta}_k) = \frac{1}{n_0} \sum_{i_0=1}^{n_0} (f_{tt}(x_{i_0}, t_{i_0}; \boldsymbol{\theta}_n) - f_{xx}(x_{i_0}, t_{i_0}; \boldsymbol{\theta}_n))^2,$$

$$L_1(f, \mathbf{s}_k; \boldsymbol{\theta}_k) = \frac{1}{n_1} \sum_{i_1=1}^{n_1} (f(x_{i_1}, t_{i_1}; \boldsymbol{\theta}_n))^2,$$

$$L_2(f, \mathbf{s}_k; \boldsymbol{\theta}_k) = \frac{1}{n_2} \sum_{i_2=1}^{n_2} \left( (f_x(x_{i_2}, t_{i_2}; \boldsymbol{\theta}_n) + \sin t_{i_2})^2 + (f_t(x_{i_2}, t_{i_2}; \boldsymbol{\theta}_n))^2 \right),$$

$$L_3(f, \mathbf{s}_k; \boldsymbol{\theta}_k) = \frac{1}{n_3} \sum_{i_3=1}^{n_3} \left( (f_x(x_{i_3}, t_{i_3}; \boldsymbol{\theta}_n))^2 + (f_t(x_{i_3}, t_{i_3}; \boldsymbol{\theta}_n) + \sin x_{i_3})^2 \right),$$

$$L_4(f, \mathbf{s}_k; \boldsymbol{\theta}_k) = \frac{1}{n_4} \sum_{i_4=1}^{n_4} \left( (f_x(x_{i_4}, t_{i_4}; \boldsymbol{\theta}_n) - \sin t_{i_4})^2 + (f_t(x_{i_4}, t_{i_4}; \boldsymbol{\theta}_n))^2 \right),$$

$$\mathcal{L}_R(f, \mathbf{s}_k; \boldsymbol{\theta}_k) = \sum_{j=0}^4 L_j(f, \mathbf{s}_k; \boldsymbol{\theta}_k)$$

4. Выполнить один или несколько шагов градиентного спуска с мини-батчем (случайными точками)  $s_k$  при помощи адаптивного алгоритма Adam (или иного алгоритма обучения нейронной сети) со скоростью обучения  $\alpha_k$  (скорость обучения  $\alpha_k$  обновляется автоматически на каждом шаге):

$$\boldsymbol{\theta}_{k+1} = \boldsymbol{\theta}_k - \alpha_k \nabla_{\boldsymbol{\theta}} \mathcal{L}_R(f, \mathbf{s}_k; \boldsymbol{\theta}_k)$$

5. Повторять шаги 2-4 до тех пор, пока изменение параметров нейронной сети  $\|\boldsymbol{\theta}_{k+1} - \boldsymbol{\theta}_k\|$  не станет достаточно малой величиной

Как альтернатива в качестве функционала потерь (ошибки) может быть использован построенный неэйлеров функционал

$$\mathcal{L}_N(f) = \int_{\Omega} (f_x^2 + f_t^2 - 2f_x \cos x \sin t - 2f_t \sin x \cos t) dx dt + \int_{\gamma_1} f^2 ds.$$

При использовании неэйлерова функционала  $\mathcal{L}_N(f)$  нужно вычислять два интеграла и, соответственно, строить одну случайную выборку из  $\Omega$  и еще одну случайную выборку из  $\gamma_1$ , и вычислять частные производные первого порядка.

## Общая схема алгоритма обучения нейронной сети с неэйлеровым функционалом

1. Выбрать начальное множество параметров нейронной сети  $\boldsymbol{\theta}_0$  и начальную скорость обучения  $\alpha_0$
2. Сгенерировать две случайные выборки для области  $\Omega$  и временной/пространственной границы  $\partial\Omega$ , а именно
  - сгенерировать случайную выборку  $\{(x_{i_0}, t_{i_0})\}_{i_0=1}^{n_0}$  из  $n_0$  точек из области  $\Omega$  с распределением  $\nu_0$
  - сгенерировать случайную выборку  $\{(x_{i_1}, t_{i_1})\}_{i_1=1}^{n_1}$  из  $n_1$  точек из фрагмента границы  $\gamma_1 \subset \partial\Omega$  с распределением  $\nu_1$

3. Вычислить неэйлеров функционал  $\mathcal{L}_N(f)$  для сгенерированных случайных выборок, объединенных в мини-батч  $s_k$ :

$$\begin{aligned} \mathbf{s}_k &= \left\{ \{(x_{i_0}, t_{i_0})\}_{i_0=1}^{n_0}, \{(x_{i_1}, t_{i_1})\}_{i_1=1}^{n_1} \right\}, \\ L_0(f, \mathbf{s}_k; \boldsymbol{\theta}_k) &= \frac{1}{n_0} \sum_{i_0=1}^{n_0} (f_x^2(x_{i_0}, t_{i_0}; \boldsymbol{\theta}_k) + f_t^2(x_{i_0}, t_{i_0}; \boldsymbol{\theta}_k) - \\ &\quad - 2f_x(x_{i_0}, t_{i_0}; \boldsymbol{\theta}_k) \cos x_{i_0} \sin t_{i_0} - 2f_t(x_{i_0}, t_{i_0}; \boldsymbol{\theta}_k) \sin x_{i_0} \cos t_{i_0})^2, \\ L_1(f, \mathbf{s}_k; \boldsymbol{\theta}_k) &= \frac{1}{n_1} \sum_{i_1=1}^{n_1} (f(x_{i_1}, t_{i_1}; \boldsymbol{\theta}_k))^2, \\ \mathcal{L}_N(f, \mathbf{s}_k; \boldsymbol{\theta}_k) &= L_0(f, \mathbf{s}_k; \boldsymbol{\theta}_k) + L_1(f, \mathbf{s}_k; \boldsymbol{\theta}_k) \end{aligned}$$

4. Выполнить один или несколько шагов градиентного спуска с мини-батчем (случайными точками)  $\mathbf{s}_k$  при помощи адаптивного алгоритма Adam (или иного алгоритма обучения нейронной сети) со скоростью обучения  $\alpha_k$  (скорость обучения  $\alpha_k$  обновляется автоматически на каждом шаге):

$$\boldsymbol{\theta}_{k+1} = \boldsymbol{\theta}_k - \alpha_k \nabla_{\boldsymbol{\theta}} \mathcal{L}_N(f, \mathbf{s}_k; \boldsymbol{\theta}_k)$$

5. Повторять шаги 2-4 до тех пор, пока изменение параметров нейронной сети  $\|\boldsymbol{\theta}_{k+1} - \boldsymbol{\theta}_k\|$  не станет достаточно малой величиной

## План действий по работе над ВКР

1. Работать над текстом ВКР, в котором нужно расписать основные математические понятия и методы, которые применяются в работе.
2. Выбираем простую архитектуру нейронной сети прямого распространения для аппроксимации решения ДУЧП. Входные значения – пары  $x, t$ , выходное значение – решение ДУЧП  $u$ .
3. Реализуем функцию потерь на основе неэйлерова функционала  $\mathcal{L}_N(f, \mathbf{s}_k; \boldsymbol{\theta}_k)$  (также можно использовать функцию потерь на основе функционала невязки  $\mathcal{L}_R(f, \mathbf{s}_k; \boldsymbol{\theta}_k)$ ).
4. Обучаем нейронную сеть при помощи функционала  $\mathcal{L}_N(f, \mathbf{s}_k; \boldsymbol{\theta}_k)$  на некотором количестве эпох, фиксируя время обучения и достигнутое качество модели, и сравниваем полученное приближенное решение  $f(x, t)$  с известным точным решением

$$u(x, t) = \sin t \sin x$$

(показатели MSE, MAE и т.п.).

5. Убеждаемся, что нейросетевые аппроксимации  $f(x, t; \boldsymbol{\theta}_k)$  сходятся (в том или ином смысле) к точному решению  $u(x, t)$ .
6. Если сходимость  $f(x, t; \boldsymbol{\theta}_k)$  к точному решению  $u(x, t)$  подтверждается, то:
  - (а) решаем задачу определения оптимальных гиперпараметров нейронной сети (количество слоев, количество нейронов в слое, функция активации, оптимизатор, начальная скорость обучения и т.п.)
  - (б) также можно изменить архитектуру нейронной сети (вместо сети прямого распространения рассмотреть сеть со слоями LSTM или сверточными слоями)
  - (с) выполняем различные визуализации для построенных решений